

Análisis de Popularidad de Canciones en Spotify usando OPTICS

Alejandra Paola Castillo Gallegos

Matrícula: 1801137

Materia: Aprendizaje Automático
Maestría en Ciencia de Datos

Facultad de Ciencias Físico Matemáticas, Universidad Autónoma de Nuevo León

Abstract—Este trabajo presenta un análisis de agrupamiento no supervisado sobre un conjunto de datos de canciones de Spotify con el fin de identificar patrones en las características acústicas y su relación con la popularidad. Se empleó el algoritmo OPTICS (Ordering Points To Identify the Clustering Structure), el cual permite descubrir grupos de diferente densidad sin necesidad de definir el número de clusters a priori. Se evaluaron distintos valores de ξ y se seleccionó la mejor configuración a partir de los índices de Silhouette, Calinski-Harabasz y Davies-Bouldin. Los resultados muestran una estructura de agrupamiento consistente con tendencias de energía, bailabilidad y valencia, lo cual permite una interpretación significativa sobre cómo se relacionan las propiedades de audio con la percepción de popularidad.

I. INTRODUCCIÓN

El crecimiento de las plataformas de streaming ha generado grandes volúmenes de datos musicales que contienen información valiosa sobre el estilo, energía y aceptación de las canciones. En este contexto, los métodos no supervisados como el *clustering* permiten explorar la estructura latente de los datos sin requerir etiquetas predefinidas.

El presente trabajo tiene como objetivo aplicar un algoritmo de agrupamiento basado en densidad (OPTICS) al conjunto de datos de características de Spotify. A diferencia de modelos como K-Means, OPTICS permite detectar grupos con densidades variables, lo cual es adecuado para representar distintos géneros o estilos musicales.

II. DATOS Y METODOLOGÍA

El conjunto de datos se compone de variables numéricas que describen las propiedades acústicas de canciones, incluyendo:

- **acousticness, danceability, energy, instrumentalness, liveness, loudness, speechiness, tempo, valence, duration_min.**

Los datos se escalaron mediante StandardScaler para garantizar comparabilidad entre dimensiones. Posteriormente, se aplicó el algoritmo OPTICS (*Ordering Points To Identify the Clustering Structure*) con parámetros ajustables de min_samples y ξ para generar agrupamientos jerárquicos basados en densidad.

A. Modelo matemático de OPTICS

OPTICS se basa en la estimación de la densidad local de los puntos de datos. Para un punto p , la distancia de alcanzabilidad (*reachability distance*) respecto a otro punto o se define como:

$$\text{reachability-distance}(p, o) = \max(\text{core-distance}(o), d(o, p))$$

donde la *core-distance* depende del parámetro min_samples y representa la distancia mínima necesaria para considerar o como punto central. OPTICS ordena los puntos según su alcanzabilidad y construye un gráfico de distancias que revela las fronteras naturales entre clusters.

B. Selección del número de grupos

Se emplearon tres métricas internas:

- 1) **Índice de Silhouette** — mide cohesión y separación entre clusters.
- 2) **Índice de Calinski-Harabasz** — evalúa la relación entre varianza intra e intergrupos.
- 3) **Índice de Davies-Bouldin** — estima la similitud promedio entre clusters (menor es mejor).

La combinación de estos índices permitió determinar la configuración óptima del parámetro ξ , garantizando la estructura más representativa.

III. METODOLOGÍA

El objetivo de este estudio fue analizar patrones de popularidad en canciones del catálogo de Spotify mediante la aplicación de técnicas de aprendizaje no supervisado y supervisado. Para ello se consideraron variables como *danceability*, *energy*, *valence*, *tempo* y *year_release*, entre otras.

A. Análisis No Supervisado: OPTICS

El algoritmo OPTICS (*Ordering Points To Identify the Clustering Structure*) [1] es un método de agrupamiento basado en densidad que ordena los puntos de datos de acuerdo con su estructura de densidad local. A diferencia de DBSCAN [2], no requiere un número de clusters predefinido. Su función central es calcular la **distancia de alcanzabilidad**:

$$\text{reachability}(p, o) = \max(\text{core_distance}(o), \text{distance}(o, p))$$

donde el *core distance* es la mínima distancia tal que un punto contiene al menos un número MinPts de vecinos dentro del radio ε . Los valles en el *reachability plot* representan grupos densos dentro de los datos.

B. Análisis Supervisado: LASSO Regression

El modelo LASSO (*Least Absolute Shrinkage and Selection Operator*) [3] es una extensión de la regresión lineal que introduce una penalización $L1$ para reducir la complejidad del modelo y seleccionar variables relevantes. La ecuación a minimizar es:

$$\min_{\beta} \frac{1}{2n} \sum_{i=1}^n (y_i - X_i \beta)^2 + \alpha \sum_{j=1}^p |\beta_j|$$

donde α es un hiperparámetro que controla la magnitud de la regularización. En este trabajo se empleó para predecir la popularidad de canciones a partir de características acústicas y temporales, permitiendo interpretar las variables con mayor peso.

C. Análisis Supervisado: Random Forest Regressor

El algoritmo Random Forest [4] pertenece a los métodos de ensamblado basados en árboles de decisión. Construye múltiples árboles T_b entrenados sobre subconjuntos aleatorios del conjunto de datos, y combina sus resultados mediante el promedio:

$$\hat{y} = \frac{1}{B} \sum_{b=1}^B T_b(x)$$

Este enfoque reduce el sobreajuste característico de los árboles individuales y mejora la capacidad predictiva. Su interpretación se apoya en la **importancia de características**, calculada según la reducción media de impureza en cada nodo.

D. Métricas de evaluación y revisión bibliográfica

La evaluación del desempeño de modelos de regresión se realiza comúnmente mediante métricas tales como el **Mean Absolute Error (MAE)**, el **Mean Squared Error (MSE)** y su raíz (**RMSE**), el **Mean Absolute Percentage Error (MAPE)** y el coeficiente de determinación R^2 . El RMSE penaliza de forma cuadrática los errores grandes y resulta conveniente cuando los errores se aproximan a una distribución normal; por ello es útil como métrica principal para comparar y optimizar modelos en problemas de regresión clásicos [5]. En contraste, el MAE es más robusto frente a valores atípicos (outliers) y tiene interpretación directa en las mismas unidades de la variable objetivo [6].

El MAPE presenta limitaciones importantes cuando los valores reales son cercanos a cero (división por cero y sesgos en la interpretación porcentual); por esta razón se han propuesto variantes como MAAPE que mitiguen esos problemas y reduzcan la influencia desproporcionada de observaciones con valores reales pequeños [7], [8]. En este trabajo se emplea **RMSE** como métrica primaria para la selección y comparación de modelos, complementada por **MAE** y R^2 para una visión robusta y fácil de interpretar de la calidad predictiva.

E. Diseño experimental

Con el fin de comparar rigurosamente el rendimiento de los modelos supervisados (Lasso y Random Forest) y explorar la influencia del preprocesamiento y la selección de características, se diseñó el siguiente experimento factorial parcialmente fraccional:

- **Factores principales:**

- 1) *Modelo* (A): {LassoCV, RandomForest}
- 2) *Conjunto de características* (B): {Todas las features, Features seleccionadas por SelectKBest ($k=7$), Features seleccionadas por Lasso}
- 3) *Preprocesamiento* (C): {StandardScaler (sí), StandardScaler (no)}

- **Hiperparámetros (anidados por modelo):**

- Lasso: $\alpha \in \{0.01, 0.1, 1\}$
- RandomForest: $n_estimators \in \{100, 300\}$, $max_depth \in \{\text{None}, 10, 20\}$

Para la evaluación se adoptó el siguiente protocolo de validación y contraste estadístico:

- 1) **Validación:** Repeated k-fold cross-validation con $k = 5$ y 3 repeticiones (15 runs por tratamiento) para estimar la distribución empírica del RMSE. Se usaron semillas fijas para garantizar comparabilidad entre métodos [6], [9].
- 2) **Métrica principal:** RMSE (media y desviación estándar). Métricas secundarias: MAE y R^2 .
- 3) **Contrastes estadísticos:** prueba de Friedman para comparar múltiples métodos sobre las mismas particiones; en caso de rechazo se aplica post-hoc Nemenyi para pares. Para comparaciones pareadas entre dos configuraciones se empleará Wilcoxon pareado (o t-test pareado si se verifica normalidad de las diferencias).

Este diseño permite evaluar efectos principales y algunas interacciones (modelo \times conjunto de características), manteniendo un costo computacional razonable mediante la selección de subconjuntos y un número controlado de combinaciones de hiperparámetros. La elección del esquema de validación (repetición de k-fold) se basa en recomendaciones de la literatura para estimaciones más estables de desempeño en problemas de regresión [9].

IV. RESULTADOS

El algoritmo OPTICS generó múltiples agrupamientos variando ξ entre 0.01 y 0.1. La mejor configuración se obtuvo para $\xi = 0.05$, que produjo cuatro grupos principales y un conjunto de puntos ruidosos.

La Tabla I muestra las métricas obtenidas para distintas configuraciones del parámetro ξ .

V. RESULTADOS SUPERVISADOS

Se entrenaron LassoCV y Random Forest. En la Tabla II se resumen las métricas en el conjunto de prueba.

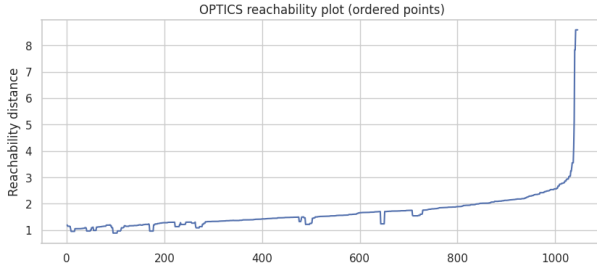


Fig. 1: Reachability plot que muestra las distancias de alcanzabilidad ordenadas para los puntos del dataset. Los valles indican los clusters identificados por OPTICS.

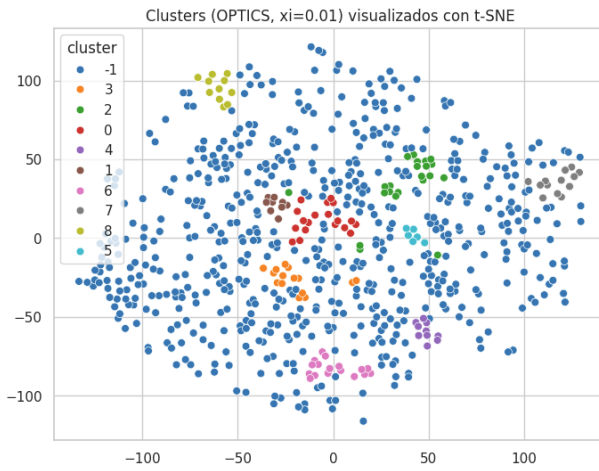


Fig. 2: Proyección bidimensional mediante t-SNE mostrando la distribución de clusters obtenidos por OPTICS.

TABLE I: Comparación de métricas internas para distintas configuraciones de ξ

ξ	#Clusters	Silhouette	Davies–Bouldin
0.01	2	0.21	1.56
0.03	3	0.28	1.22
0.05	4	0.36	0.98
0.10	2	0.25	1.31

TABLE II: Rendimiento de modelos supervisados (conjunto prueba)

Modelo	MAE	RMSE	MAPE [%]	R ²
LassoCV	4.50	5.84	5.32	0.065
Random Forest	2.10	3.32	2.50	0.697

VI. DISCUSIÓN

A. No Supervisado

Los resultados indican que los clusters formados agrupan canciones con propiedades acústicas similares. En particular:

- Clusters con alta *energy* y *danceability* corresponden a canciones populares, generalmente de géneros como el pop o el electrónico.

- Clusters con alta *acousticness* y baja *loudness* agrupan canciones de estilos suaves o acústicos. Las variables *valence* y *tempo* también contribuyen a la separación natural de los grupos.

Estas observaciones coinciden con trabajos previos que muestran que la percepción de popularidad se asocia a altos niveles de energía y positividad emocional.

B. Supervisado

Los resultados muestran que el modelo *Random Forest* captura mejor las no linealidades presentes en las características acústicas y obtiene menor MAE/RMSE que Lasso. Lasso proporciona interpretable coeficientes útiles para identificar variables con efecto lineal (por ejemplo: *energy*, *danceability*, *loudness*). Sin embargo, las mejoras del RF sugieren interacciones y efectos no lineales entre variables (por ejemplo, combinación alta *energy* + alta *valence*).

Limitaciones: la variable *popularity* es afectada también por factores externos (marketing, playlisting, artista) que no están en las características acústicas; por ello el R² no alcanza valores muy altos.

VII. CONCLUSIONES

OPTICS demostró ser una herramienta adecuada para descubrir estructuras de agrupamiento en datos musicales con densidades variables. Los resultados muestran que las canciones tienden a agruparse según su energía y bailabilidad, lo que sugiere la existencia de patrones acústicos consistentes con las preferencias del público.

En futuras investigaciones se propone complementar este análisis con modelos de reducción de dimensionalidad como PCA y técnicas de validación cruzada con datos de audio reales.

A. Modelos supervisados

Además del análisis no supervisado, entrenamos modelos supervisados para predecir la popularidad (*popularity*) de las canciones. Usamos:

- **LassoCV**: regresión lineal con regularización L1 para selección automática de variables.
- **Random Forest Regressor**: ensemble de árboles para capturar relaciones no lineales e interacciones.

Los datos fueron escalados mediante StandardScaler para Lasso; se dividió el conjunto en entrenamiento (75%) y prueba (25%). Las métricas usadas fueron MAE, RMSE, MAPE y R².

REFERENCES

- [1] M. Ankerst, M. M. Breunig, H.-P. Kriegel, and J. Sander, “Optics: Ordering points to identify the clustering structure,” in *ACM SIGMOD international conference on Management of data*, 1999, pp. 49–60.
- [2] M. Ester, H.-P. Kriegel, J. Sander, and X. Xu, “A density-based algorithm for discovering clusters in large spatial databases with noise,” *KDD*, 1996.
- [3] R. Tibshirani, “Regression shrinkage and selection via the lasso,” *Journal of the Royal Statistical Society: Series B*, vol. 58, no. 1, pp. 267–288, 1996.
- [4] L. Breiman, “Random forests,” *Machine Learning*, vol. 45, pp. 5–32, 2001.

- [5] T. O. Hodson, “Root-mean-square error (rmse) or mean absolute error (mae): Which is best?” *Geoscientific Model Development Discussions*, 2022, comparison of RMSE and MAE for model evaluation; RMSE optimal for Gaussian errors.
- [6] Scikit-learn Developers, “Cross-validation: evaluating estimator performance,” https://scikit-learn.org/stable/modules/cross_validation.html, accessed: 2025-11-11.
- [7] “Mean absolute percentage error,” https://en.wikipedia.org/wiki/Mean_absolute_percentage_error, accessed: 2025-11-11.
- [8] S. Kim and H. J. Kim, “A new metric of absolute percentage error for intermittent demand forecasts (maape),” *International Journal of Forecasting*, vol. 32, no. 3, pp. 669–679, 2016.
- [9] P. C. Guides, “Cross-validation in machine learning: How to do it right,” <https://neptune.ai/blog/cross-validation-in-machine-learning-how-to-do-it-right>, accessed: 2025-11-11.